

01;03

## К вопросу о вычислении потока тепла между коаксиальными цилиндрами при произвольных числах Кнудсена

© С.А. Савков, А.А. Юшканов

Орловский государственный университет,  
302015 Орел, Россия

(Поступило в Редакцию 4 марта 1999 г. В окончательной редакции 6 декабря 1999 г.)

Рассматривается задача вычисления потока тепла между коаксиальными цилиндрами. Для решения кинетического уравнения используется процедура, аналогичная методу полупространственных моментов. Приведены результаты расчетов для БГК модели интеграла столкновений в случае чисто диффузного закона отражения.

Описание свойств газа при произвольных числах Кнудсена является одной из классических задач кинетической теории газов. Достаточно подробный обзор публикаций по этому вопросу приведен в [1,2]. Следует заметить, что большинство экспериментальных данных и результатов численного решения приводится в виде отношения к соответствующему газодинамическому решению. В случае разреженного газа это отношение стремится к нулю, поэтому реальный характер искомой зависимости в диапазоне промежуточных и больших значений числа Кнудсена оказывается неисследованным. Известные в настоящее время аналитические результаты получены методом Лиза [1]. При этом авторы ограничиваются рассмотрением простейшей функции, которая не дает правильного описания распределения молекул газа при удалении от внутреннего цилиндра и не позволяет корректно поставить граничные условия на поверхности внешнего цилиндра.

Итак рассмотрим два соосных цилиндра с радиусами  $R_1 < R_2$ , между которыми поддерживается постоянная разность температур  $\Delta T = T_1 - T_2$ . Перепад температур предполагается достаточно малым для того, чтобы линеаризовать задачу.

Введем цилиндрическую систему координат, ось  $z$  которой совпадает с осью цилиндров. Состояние газа между цилиндрами описывается кинетическим уравнением Больцмана (см., например, [3]). Ограничиваясь БГК моделью интеграла столкновений [4], учитывая линейность и аксиальную симметрию задачи, запишем

$$C_r \frac{\partial \Phi}{\partial r} + \frac{C_\varphi^2}{r} \frac{\partial \Phi}{\partial C_r} = \nu \left( \frac{\delta n}{n_0} + (C^2 - 3/2) \frac{\Delta T}{T_0} + 2\mathbf{C}\mathbf{G} - \Phi \right). \quad (1)$$

Здесь

$$\frac{\delta n}{n_0} = \pi^{-3/2} \int \Phi \exp(-C^2) d\mathbf{C},$$

$$\frac{\delta T}{T_0} = \pi^{-3/2} \int \Phi \left( \frac{2}{3} C^2 - 1 \right) \exp(-C^2) d\mathbf{C},$$

$$\mathbf{G} = \pi^{-3/2} \int \Phi \mathbf{C} \exp(-C^2) d\mathbf{C},$$

$$\nu = \frac{\sqrt{\pi}}{3\lambda} = \frac{5n}{\varkappa} \sqrt{\frac{k^3 T_0}{8m}}, \quad (2)$$

$\Phi$  — поправка к равновесной функции распределения;  $\mathbf{C} = \mathbf{V} \sqrt{m/2kT_0}$  — безразмерная собственная скорость молекул газа;  $\lambda$  — средняя длина свободного пробега молекул газа;  $\varkappa$  — его теплопроводность;  $T_0$  и  $n_0$  — некоторые принятые за равновесные значения температуры и концентрации молекул газа, в качестве которых без потери общности можно выбрать температуру и концентрацию молекул, отраженных от поверхности внешнего цилиндра.

Искомая поправка должна удовлетворять граничным условиям взаимодействия молекул газа с поверхностью как внутреннего, так и внешнего цилиндра, которые в самой общей форме (см., например, [3]) могут быть записаны в виде

$$\Phi_k^r = \Omega_k \Phi_k^i \quad \text{при} \quad r = R_k \quad (k = 1, 2), \quad (3)$$

где  $\Phi_k^i$  и  $\Phi_k^r$  — функции, описывающие распределение по скорости для падающих и отраженных от поверхности соответствующего цилиндра молекул;  $\Omega_k$  — интегральный оператор, определяющийся характером взаимодействия газа с поверхностью.

В стандартном подходе [1] используют двухпоточную функцию распределения, различая молекулы, вектор скорости которых лежит внутри и вне клина влияния внутреннего цилиндра, что позволяет удовлетворить граничному условию при  $r = R_1$ . Для того чтобы удовлетворить условию на поверхности внешнего цилиндра, будем также различать молекулы, имеющие положительное и отрицательное значение проекции скорости  $C_r$ , т.е. представим искомую функцию в виде

$$\Phi = \Phi_1 H_1 + \Phi_2 H_2 + \Phi_3 H_3, \quad (4)$$

где

$$H_1 = H \left( C_r - C_p \sqrt{1 - R_1^2/r^2} \right),$$

$$H_2 = H(C_r) - H_1, \quad H_3 = H(-C_r),$$

$$C_p = \sqrt{C^2 - C_z^2}, \quad H(x) = \begin{cases} 1 & \text{при } x > 0 \\ 0 & \text{при } x < 0 \end{cases}$$

— стандартная функция Хевисайда.

Такой подход к выбору функции распределения позволяет записать условия (3) в виде

$$\begin{aligned} \Phi_1 &= \Omega_1 \Phi_3 \quad \text{при } r = R_1 \quad \text{и} \\ \Phi_3 &= \Omega_2 (\Phi_1 H_1 + \Phi_2 H_2) \quad \text{при } r = R_2. \end{aligned} \quad (5)$$

Функции  $\Phi_i$  будем искать в виде, аналогичном распределению Чепмена–Энскога,

$$\Phi_i = a_1^i + a_2^i(3/2 - C^2) + a_3^i C_r + a_4^i C_r(5/2 - C^2). \quad (6)$$

Отметим, что в стандартном подходе рассматриваются лишь моменты, определяющие поле температуры и концентрации молекул газа. Моменты, описывающие поток тепла и массы газа, остаются неучтенными, что не позволяет (в случае  $R_2 - R_1 \gg \lambda$ ) получить правильное описание состояния газа в газодинамической области, т.е. на достаточно большом по сравнению с длиной свободного пробега расстоянии от поверхности цилиндров.

Коэффициенты  $a_j^i$ , зависящие только от  $r$ , определяются из решения моментных уравнений, для составления которых кинетическое уравнение (1) с функцией распределения (4), (6) умножим последовательно на  $\exp(-C^2)H_j$ ,  $C^2 \exp(-C^2)H_j$ ,  $C_r \exp(-C^2)H_j$ ,  $C_r(5/2 - C^2) \exp(-C^2)H_j$  и проинтегрируем по скорости. Переходя к новой переменной  $x = r/R_1$ , получим

$$\begin{aligned} & \frac{\pi}{4x} \frac{d}{dx} (2a_1^1 - a_2^1) + \frac{\sqrt{\pi}}{2} \left( \phi + \frac{\gamma}{x} \right) \frac{da_3^1}{dx} + \frac{\sqrt{\pi}}{2} \left( \phi - \frac{\gamma}{x} \right) \frac{a_3^1}{x} \\ &= R_1 \nu \left\{ \sqrt{\pi} \left( \frac{1}{2x^2} + \frac{\phi^2}{\pi} - \phi \right) a_1^1 - \frac{\sqrt{\pi}}{4x^2} a_2^1 \right. \\ &+ \left( \frac{\gamma}{x} + 2\phi - \pi \right) \frac{a_3^1}{2x} + (\phi - \pi) \frac{a_4^1}{4x} \\ &+ \frac{\sqrt{\pi}}{2} \left( \phi - \frac{2}{\pi} \phi^2 + \frac{x-1}{x^2} \right) a_1^2 - \frac{\sqrt{\pi} x - 1}{4} \frac{a_2^2}{x^2} \\ &+ \left( \frac{\pi}{2x} + \phi \frac{x-2}{x} - \frac{\gamma}{x^2} \right) \frac{a_3^2}{2} + \frac{\phi x - 1}{4} \frac{a_4^2}{x} \\ &+ \left. \frac{\sqrt{\pi}}{2} \left( \phi - \frac{1}{x} \right) a_1^3 + \frac{\sqrt{\pi}}{4x} a_2^3 + \left( \frac{\pi}{4x} - \frac{\phi}{2} \right) a_3^3 - \frac{\phi}{4} a_4^3 \right\}, \quad (7) \\ & \frac{\pi}{2x} \frac{d}{dx} (2a_1^1 - 3a_2^1) + \frac{5\sqrt{\pi}}{4} \left( \phi + \frac{\gamma}{x} \right) \frac{d}{dx} (a_3^1 - a_4^1) \\ &+ \frac{5\sqrt{\pi}}{4} \left( \phi - \frac{\gamma}{x} \right) \frac{a_3^1 - a_4^1}{x} \\ &= R_1 \nu \left\{ \frac{\sqrt{\pi}}{2} \left( \frac{2}{x^2} + \frac{3\phi^2}{\pi} - 3\phi \right) a_1^1 \right. \\ &- \frac{\sqrt{\pi}}{2} \left( \frac{1}{x^2} + \frac{3\phi^3}{\pi} - 3\phi \right) a_2^1 + \left( \frac{\gamma}{x} + 2\phi - \pi \right) \frac{a_3^1}{x} \end{aligned}$$

$$\begin{aligned} & + \frac{\pi - \phi}{2x} a_4^1 + \sqrt{\pi} \left( \frac{3\phi}{4} - \frac{3\phi^2}{2\pi} + \frac{x-1}{x^2} \right) a_1^2 \\ & - \sqrt{\pi} \left( \frac{3\phi}{4} - \frac{3\phi^2}{2\pi} + \frac{x-1}{2x^2} \right) a_2^2 \\ & + \left( \frac{\pi}{2x} - \frac{\gamma}{x^2} + \phi \frac{x-2}{x} \right) a_3^2 - \frac{\phi x - 1}{2} \frac{a_4^2}{x} \\ & + \sqrt{\pi} \left( \frac{3}{4} \phi - \frac{1}{x} \right) a_1^3 + \frac{\sqrt{\pi}}{4} \left( \frac{2}{x} - 3\phi \right) a_2^3 \\ & + \left( \frac{\pi}{2x} - \phi \right) a_3^3 + \frac{\phi}{2} a_4^3 \Big\}, \quad (8) \end{aligned}$$

$$\begin{aligned} & \frac{\sqrt{\pi}}{2} \left( \phi + \frac{\gamma}{x} \right) \frac{d(a_1^1 - a_2^1)}{dx} \\ & + \pi \frac{3x^2 - 1}{8x^3} \frac{d(2a_3^1 - a_4^1)}{dx} + \pi \frac{2a_3^1 - a_4^1}{8x^4} \\ &= R_1 \nu \left\{ \left( \frac{\gamma}{x} + 2\phi - \pi \right) \frac{2a_1^1 - a_2^1}{4x} \right. \\ &+ \frac{\sqrt{\pi}}{2} \left( \frac{2\gamma\phi}{\pi x} - \frac{\gamma}{x} - \phi + \frac{\phi^2}{\pi} + \frac{x^2 - 1}{\pi x^4} + \frac{7}{12x^2} \right) a_3^1 \\ &- \frac{\sqrt{\pi} a_4^1}{48x^2} + \left( \gamma - \frac{\gamma}{x} + \phi x - 2\phi + \frac{\pi}{2} \right) \frac{2a_2^1 - a_2^2}{4x} \\ &+ \sqrt{\pi} \left( \frac{\gamma}{4x} - \frac{\gamma\phi}{\pi x} + \frac{\phi}{4} - \frac{\phi^2}{2\pi} - \frac{x^2 - 1}{2\pi x^4} + \frac{7(x-1)}{24x^2} \right) a_2^3 \\ &- \sqrt{\pi} \frac{x-1}{48x^2} a_4^2 + \left( \frac{\pi}{2x} - \frac{\gamma}{x} - \phi \right) \frac{2a_1^3 - a_2^3}{4} \\ &+ \left. \sqrt{\pi} \left( \frac{\gamma}{4x} + \frac{\phi}{x} - \frac{7}{24x} \right) a_3^3 + \frac{a_4^3 \sqrt{\pi}}{48x} \right\}, \quad (9) \end{aligned}$$

$$\begin{aligned} & \frac{5\sqrt{\pi}}{4} \left( \phi + \frac{\gamma}{x} \right) \frac{da_2^1}{dx} - \pi \frac{3x^2 - 1}{16x^3} \frac{d(2a_3^1 - 13a_4^1)}{dx} \\ & - \pi \frac{2a_3^1 - 13a_4^1}{16x^4} = R_1 \nu \left\{ \frac{\phi - \pi}{8x} (2a_1^1 + 7a_2^1) \right. \\ &- \frac{a_3^1 \sqrt{\pi}}{48x^2} + \frac{5\sqrt{\pi}}{4} \left( \frac{11}{24x^2} - \frac{\gamma}{x} - \phi \right) a_4^1 \\ &+ \frac{\pi - 2\phi}{16x} (2a_1^2 + 7a_2^2) - \sqrt{\pi} \frac{x-1}{96x^2} (2a_3^2 - 55a_4^2) \\ &+ \left. \pi \frac{2a_1^3 + 7a_2^3}{16x} + \sqrt{\pi} \frac{2a_3^3 - 55a_4^3}{96x} \right\}, \quad (10) \end{aligned}$$

$$\begin{aligned} & \pi \frac{x-1}{4x} \frac{d}{dx} (2a_1^2 - a_2^2) + \frac{\sqrt{\pi}}{2} \left( \frac{\pi}{2} - \phi - \frac{\gamma}{x} \right) \frac{da_3^2}{dx} \\ & + \frac{\sqrt{\pi}}{2} \left( \frac{\pi}{2} - \phi + \frac{\gamma}{x} \right) \frac{a_3^2}{x} + \frac{\pi}{8x} (2a_1^2 - a_2^2 - 2a_1^3 + a_2^3) \end{aligned}$$

$$\begin{aligned}
 &= R_1 \nu \left\{ \frac{\sqrt{\pi}}{2} \left( \phi - \frac{2\phi^2}{\pi} + \frac{x-1}{x^2} \right) a_1^1 - \frac{\sqrt{\pi}(x-1)}{4x^2} a_2^1 \right. \\
 &+ \left( \gamma - \frac{\gamma}{x} + \frac{\pi}{2} + \phi x - 2\phi \right) \frac{a_3^1}{2x} + (\pi - 2\phi) \frac{a_4^1}{8x} \\
 &+ \frac{\sqrt{\pi}}{2} \left( \frac{2\phi^2}{\pi} - \frac{\pi}{2} + \frac{(x-1)^2}{x^2} \right) a_1^2 - \frac{\sqrt{\pi}(x-1)^2}{4x^2} a_2^2 \\
 &- \left( \frac{\gamma}{2x} + \phi \right) \frac{x-1}{x} a_3^2 - (2\phi + \pi) \frac{x-1}{8x} a_4^2 \\
 &+ \frac{\sqrt{\pi}}{2} \left( \frac{\pi}{2} - \phi - 1 + \frac{1}{x} \right) a_1^3 + \sqrt{\pi} \frac{x-1}{4x} a_2^3 \\
 &\left. + \frac{2\phi x - \pi}{4x} a_3^3 + \frac{2\phi - \pi}{8} a_4^3 \right\}, \quad (11)
 \end{aligned}$$

$$\begin{aligned}
 &\pi \frac{x-1}{2x} \frac{d}{dx} (2a_1^2 - 3a_2^2) + \frac{5\sqrt{\pi}}{4} \left( \frac{\pi}{2} - \phi - \frac{\gamma}{x} \right) \frac{d}{dx} (a_3^2 - a_4^2) \\
 &+ \frac{5\sqrt{\pi}}{4} \left( \frac{\pi}{2} - \phi + \frac{\gamma}{x} \right) \frac{a_3^2 - a_4^2}{x} + \frac{\pi}{4x} (2a_1^2 - 3a_2^2 \\
 &- 2a_3^2 + 3a_4^2) = R_1 \nu \left\{ \sqrt{\pi} \left( 3\phi \frac{\pi - 2\phi}{4\pi} + \frac{x-1}{x^2} \right) a_1^1 \right. \\
 &- \sqrt{\pi} \left( 3\phi \frac{\pi - 2\phi}{4\pi} + \frac{x-1}{2x^2} \right) a_2^1 \\
 &+ \left( \gamma - \frac{\gamma}{x} + \frac{\pi}{2} + \phi x - 2\phi \right) \frac{a_3^1}{x} + (2\phi - \pi) \frac{a_4^1}{4x} \\
 &+ \sqrt{\pi} \left( \frac{3\phi^2}{2\pi} - \frac{3\pi}{8} + \frac{(x-1)^2}{x^2} \right) a_1^2 \\
 &+ \sqrt{\pi} \left( \frac{3\pi}{8} - \frac{(x-1)^2}{2x^2} - \frac{3\phi^2}{2\pi} \right) a_2^2 - \left( \frac{\gamma}{x} + 2\phi \right) \frac{x-1}{x} a_3^2 \\
 &+ (2\phi + \pi) \frac{x-1}{4x} a_4^2 + \sqrt{\pi} \left( \frac{3}{8} (\pi - 2\phi) - 1 + \frac{1}{x} \right) a_1^3 \\
 &+ \sqrt{\pi} \left( \frac{3}{8} (2\phi - \pi) + \frac{x-1}{2x} \right) a_2^3 \\
 &\left. - \left( \frac{\pi}{2x} - \phi \right) a_3^3 - \left( \frac{\phi}{2} - \frac{\pi}{4} \right) a_4^3 \right\}, \quad (12)
 \end{aligned}$$

$$\begin{aligned}
 &\frac{\sqrt{\pi}}{2} \left( \frac{\pi}{2} - \phi - \frac{\gamma}{x} \right) \frac{d(a_1^2 - a_2^2)}{dx} + \frac{\pi}{8} \left( 2 - \frac{3}{x} + \frac{1}{x^3} \right) \\
 &\times \frac{d(2a_3^2 - a_4^2)}{dx} + \pi \frac{x^3 - 1}{8x^4} (2a_3^2 - a_4^2) \\
 &= R_1 \nu \left\{ \left( x\phi - 2\phi + \frac{\pi}{2} - \frac{\gamma}{x} \right) \frac{2a_1^1 - a_2^1}{4x} \right. \\
 &+ \sqrt{\pi} \left( \frac{\phi}{4} - \frac{\phi^2}{2\pi} - \frac{\gamma\phi}{\pi x} + \frac{\gamma}{4x} - \frac{x^2 - 1}{2\pi x^4} + \frac{7(x-1)}{24x^2} \right) a_1^3 \\
 &\left. - \sqrt{\pi} \frac{x-1}{48x^2} a_4^1 - \left( \frac{\gamma}{2x} + \phi \right) \frac{x-1}{2x} (2a_1^2 - a_2^2) \right\}
 \end{aligned}$$

$$\begin{aligned}
 &+ \sqrt{\pi} \left( \frac{\gamma\phi}{\pi x} + \frac{\phi^2}{2\pi} - \frac{\pi}{8} + \frac{x^2 - 1}{2\pi x^4} + \frac{7(x-1)^2}{24x^2} \right) a_3^2 \\
 &- \frac{\sqrt{\pi}}{48x^2} (x-1)^2 a_4^2 + \left( \frac{\gamma}{x} + \phi - \frac{\pi}{2x} \right) \frac{2a_1^3 - a_2^3}{4} \\
 &+ \sqrt{\pi} \left( \frac{\pi}{8} - \frac{\gamma}{4x} - \frac{\phi}{4} - \frac{7(x-1)}{24x} \right) a_3^3 + \sqrt{\pi} \frac{x-1}{48x} a_4^3 \Big\}, \quad (13)
 \end{aligned}$$

$$\begin{aligned}
 &\sqrt{\pi} \frac{5}{4} \left( \frac{\pi}{2} - \phi - \frac{\gamma}{x} \right) \frac{da_2^2}{dx} + \frac{\pi}{16} \left( \frac{3}{x} - 2 - \frac{1}{x^3} \right) \\
 &\times \frac{d(2a_3^2 - 13a_4^2)}{dx} - \pi \frac{x^3 - 1}{16x^4} (2a_3^2 - 13a_4^2) \\
 &= R_1 \nu \left\{ \left( \phi \frac{x-1}{8x} (2a_1^1 + 7a_2^1) - \sqrt{\pi} \frac{x-1}{96x^2} (2a_3^1 - 55a_4^1) \right) \right. \\
 &- \frac{x-1}{16x} (2\phi + \pi) (2a_1^2 + 7a_2^2) - \sqrt{\pi} \frac{(x-1)^2}{48x^2} a_3^2 \\
 &+ \sqrt{\pi} \frac{5}{4} \left( \frac{\gamma}{x} + \phi - \frac{\pi}{2} + \frac{11(x-1)^2}{24x^2} \right) a_4^2 \\
 &\left. + \pi \frac{x-1}{16x} (2a_1^3 + 7a_2^3) + \sqrt{\pi} \frac{x-1}{96x} (2a_3^3 - 55a_4^3) \right\}, \quad (14)
 \end{aligned}$$

$$\begin{aligned}
 &\frac{\pi}{4} \frac{d}{dx} (a_2^3 - 2a_1^3) + \frac{\pi}{8x} (2a_1^2 - a_2^2 - 2a_1^3 + a_2^3) \\
 &+ \frac{\pi^{3/2}}{4} \frac{da_3^3}{dx} + \frac{\pi^{3/2}}{4x} a_3^3 \\
 &= R_1 \nu \left\{ \sqrt{\pi} \frac{\phi x - 1}{2x} a_1^1 + \frac{\sqrt{\pi}}{4x} a_2^1 + \left( \frac{\pi}{2x} - \frac{\gamma}{x} - \phi \right) \frac{a_3^1}{2} \right. \\
 &+ \frac{\pi a_4^1}{8x} + \sqrt{\pi} \left( \frac{\pi}{2} - \phi - 1 + \frac{1}{x} \right) \frac{a_1^2}{2} + \sqrt{\pi} \frac{x-1}{4x} a_2^2 \\
 &+ \left( \phi - \frac{\pi}{2x} + \frac{\gamma}{x} \right) \frac{a_3^2}{2} + \frac{\pi x - 1}{8x} a_4^2 \\
 &\left. + \sqrt{\pi} \frac{2 - \pi}{4} a_1^3 - \sqrt{\pi} \frac{a_2^3}{4} + \frac{a_3^3 \pi}{8} \right\}, \quad (15)
 \end{aligned}$$

$$\begin{aligned}
 &\frac{\pi}{2} \frac{d}{dx} (3a_2^3 - 2a_1^3) + \frac{\pi}{4x} (2a_1^2 - 3a_2^2 - 2a_1^3 + 3a_2^3) \\
 &+ \frac{5\pi^{3/2}}{8} \frac{d(a_3^3 - a_4^3)}{dx} + \frac{5\pi^{3/2}}{8x} (a_3^3 - a_4^3) \\
 &= R_1 \nu \left\{ \sqrt{\pi} \frac{3\phi x - 4}{4x} a_1^1 + \sqrt{\pi} \frac{2 - 3\phi x}{4x} a_2^1 + \left( \frac{\pi}{2x} - \frac{\gamma}{x} - \phi \right) a_3^1 \right. \\
 &- \frac{\pi a_4^1}{4x} + \sqrt{\pi} \left( \frac{3\pi - 6\phi}{8} - 1 + \frac{1}{x} \right) a_1^2 \\
 &+ \sqrt{\pi} \left( \frac{6\phi - 3\pi}{8} + \frac{x-1}{2x} \right) a_2^2 + \left( \phi + \frac{\gamma}{x} - \frac{\pi}{2x} \right) a_3^2 \\
 &\left. - \frac{\pi(x-1)}{4x} a_4^2 + \sqrt{\pi} \frac{8 - 3\pi}{8} a_1^3 + \sqrt{\pi} \frac{3\pi - 4}{8} a_2^3 - \frac{a_4^3 \pi}{4} \right\}, \quad (16)
 \end{aligned}$$

$$\begin{aligned} & \frac{\pi^{3/2}}{4} \frac{d}{dx} (a_1^3 - a_2^3) - \frac{\pi}{4} \frac{d(2a_3^3 - a_4^3)}{dx} - \frac{\pi}{8x} (2a_3^3 - a_4^3) \\ &= R_1 \nu \left\{ \frac{\pi - 2\phi x}{8x} (2a_1^1 - a_2^1) + \sqrt{\pi} \left( \phi x + \gamma - \frac{7}{6} \right) \frac{a_3^1}{4x} \right. \\ &+ \frac{\sqrt{\pi}}{48x} a_4^1 + \frac{2\phi x - \pi}{8x} (2a_1^2 - a_2^2) \\ &+ \sqrt{\pi} \left( \pi x - 2\phi x - 2\gamma - \frac{7}{3}(x-1) \right) \frac{a_3^2}{8x} \\ &\left. + \sqrt{\pi} \frac{x-1}{48x} a_4^2 + \sqrt{\pi} \frac{7-3\pi}{24} a_3^3 - \frac{\sqrt{\pi}}{48} a_4^3 \right\}, \quad (17) \end{aligned}$$

$$\begin{aligned} & \frac{5\pi^{3/2}}{8} \frac{da_2^3}{dx} + \frac{\pi}{8} \frac{d(2a_3^3 - 13a_4^3)}{dx} + \frac{\pi}{16x} (2a_3^3 - 13a_4^3) \\ &= R_1 \nu \left\{ -\frac{\phi}{8} (2a_1^1 + 7a_2^1) + \frac{\sqrt{\pi}}{96x} (2a_3^1 - 55a_4^1) \right. \\ &+ \frac{2\phi - \pi}{16} (2a_1^2 + 7a_2^2) + \sqrt{\pi} \frac{x-1}{96x} (2a_3^2 - 55a_4^2) \\ &\left. + \frac{\pi}{16} (2a_1^3 + 7a_2^3) - \sqrt{\pi} \frac{a_3^3}{48} + \sqrt{\pi} \frac{55-60\pi}{96} a_4^3 \right\}, \quad (18) \end{aligned}$$

где  $\phi = \arcsin x^{-1}$ ,  $\gamma = \cos \phi = \sqrt{1-x^{-2}}$ .

Суммируя уравнения (7), (11), (15) и (8), (12), (16), получим соответственно законы сохранения массы и энергии

$$\frac{d}{dx} Jx = 0 \quad \text{и} \quad \frac{d}{dx} Qx = 0,$$

которые могут быть проинтегрированы в явном виде. Здесь

$$\begin{aligned} J &= \pi^{-3/2} \int \Phi C_r \exp(-C^2) dC \\ &= \frac{2a_1^1 - a_2^1}{4x\sqrt{\pi}} + \left( \frac{\gamma}{x} + \phi \right) \frac{a_3^1}{2\pi} + \frac{x-1}{4\sqrt{\pi}x} (2a_1^2 - a_2^2) \\ &+ \left( \frac{\pi}{2} - \frac{\gamma}{x} - \phi \right) \frac{a_3^2}{2\pi} - \frac{2a_1^3 - a_2^3}{4\sqrt{\pi}} + \frac{a_3^3}{4} \quad (19) \end{aligned}$$

и

$$\begin{aligned} Q &= \pi^{-3/2} \int \Phi C^2 C_r \exp(-C^2) dC \\ &= \frac{2a_1^1 - 3a_2^1}{2x\sqrt{\pi}} + \frac{5}{4\pi} \left( \frac{\gamma}{x} + \phi \right) (a_3^1 - a_4^1) \\ &+ \frac{x-1}{2\sqrt{\pi}x} (2a_1^2 - 3a_2^2) + \frac{5}{4\pi} \left( \frac{\pi}{2} - \frac{\gamma}{x} - \phi \right) (a_3^2 - a_4^2) \\ &- \frac{2a_1^3 - 3a_2^3}{2\sqrt{\pi}} + \frac{5}{8} (a_3^3 - a_4^3) \quad (20) \end{aligned}$$

— безразмерные потоки массы и тепла. Аналогично сумма уравнений (9), (13), (17) представляет собой закон сохранения импульса.

Решение системы уравнений (7)–(18) должно удовлетворять условиям (5). Предлагаемая методика позволяет использовать произвольные формы закона отражения (см., например, [5]). Для конкретного численного анализа ограничимся моделью чисто диффузионного отражения, т.е. будем полагать, что молекулы отражаются от поверхности каждого из цилиндров с соответствующей его характеристикам максвелловской функцией распределения. Принимая в качестве равновесной функцию распределения молекул отразившихся от внешнего цилиндра, запишем

$$\begin{aligned} \Phi_1 &= \frac{\Delta n}{n_2} + \left( C^2 - \frac{3}{2} \right) \frac{\Delta T}{T_2} \quad \text{при} \quad x = 1 \quad \text{и} \\ \Phi_3 &= 0 \quad \text{при} \quad x = \frac{R_2}{R_1}. \quad (21) \end{aligned}$$

Сравнивая (21) с (6), получим

$$a_1^1 = \frac{\Delta n}{n_2}, \quad a_2^1 = -\frac{\Delta T}{T_2}, \quad a_3^1 = a_4^1 = 0 \quad \text{при} \quad x = 1 \quad (22)$$

и

$$a_1^3 = a_2^3 = a_3^3 = a_4^3 = 0 \quad \text{при} \quad x = R_2/R_1. \quad (23)$$

Причем разность концентрации молекул газа  $\Delta n = n_1 - n_2$  должна определяться из условия отсутствия потока массы между цилиндрами ( $J = 0$ ). Поэтому вместо первого условия из (22) необходимо использовать вытекающее из (19) при  $x = 1$  равенство

$$2a_1^1 - a_2^1 - 2a_1^3 + a_2^3 + \sqrt{\pi} a_3^3 = 0. \quad (24)$$

Кроме этого, необходимо учесть, что система моментных уравнений имеет особенность на поверхности внутреннего цилиндра, обусловленную схлопыванием области в пространстве скоростей, которая соответствует функции  $\Phi_2$ . Раскладывая искомое решение в ряд по степеням  $\xi = x - 1$  и учитывая требование конечности функции распределения, получим еще четыре условия

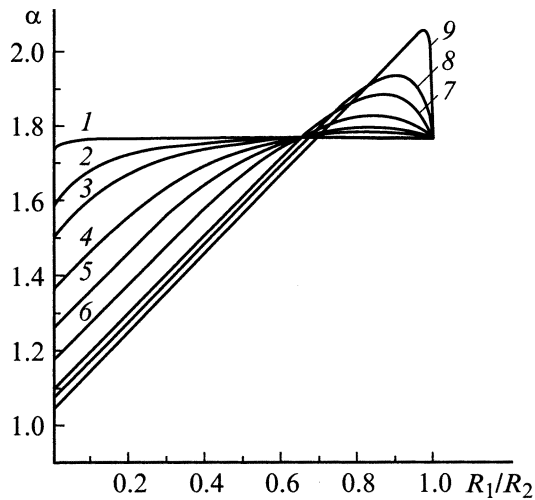
$$A_1 = A_2 = A_3 = A_4 = 0 \quad \text{при} \quad x = 1. \quad (25)$$

Здесь  $A_{1,2} = (x-1)a_{1,2}^2$  и  $A_{3,4} = (\pi/2 - \phi x - \gamma/x)a_{3,4}^2$ . Таким образом, граничные условия задаются функцией распределения молекул, отразившихся от поверхности внутреннего цилиндра (т.е. значением  $\Phi_1$  при  $r = R_1$ ), функцией распределения молекул, отразившихся от внешнего цилиндра (т.е. значением  $\Phi_3$  при  $r = R_2$ ), а также требованием конечности функции  $\Phi_2$  при  $r = R_1$ .

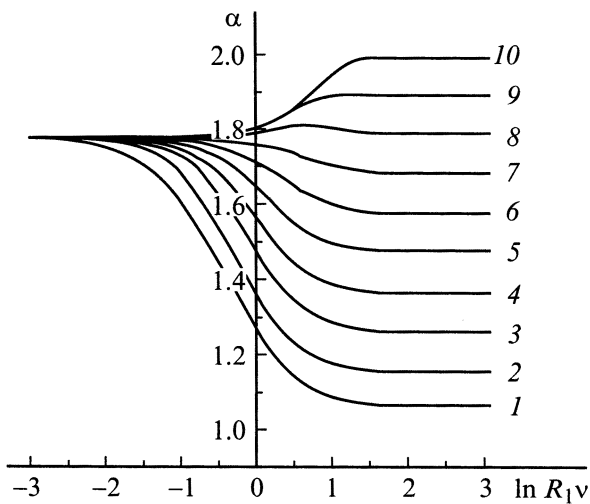
Результаты численного решения системы уравнений (7)–(18) с условиями (22)–(25) могут быть представлены в виде

$$Q = \frac{\Delta T}{T_2} \frac{R_1}{r} \left( \frac{4}{5} R_1 \nu \ln(R_2/R_1) + \alpha \right)^{-1}. \quad (26)$$

Параметр  $\alpha$  описывает отличие потока тепла от газодинамического решения. На рис. 1–3 приведена зависимость этого параметра от соотношения между радиусами цилиндров и степени разреженности газа.



**Рис. 1.** Зависимость параметра  $\alpha$  от отношения  $R_1/R_2$  при  $R_1\nu = 0.01$  (1), 0.1 (2), 0.2 (3), 0.5 (4), 1 (5), 2 (6), 5 (7), 10 (8), 100 (9).



**Рис. 2.** Зависимость значений  $\alpha$  от  $R_1\nu$  при  $R_1/R_2 = 0.01$  (1), 0.1 (2), 0.2 (3), 0.3 (4), 0.4 (5), 0.5 (6), 0.6 (7), 0.7 (8), 0.8 (9), 0.9 (10).

Следует отметить прослеживающийся на рис. 1 линейный характер зависимости  $\alpha$  от соотношения  $R_1/R_2$  при расстоянии между цилиндрами, много большем средней длины свободного пробега молекул газа, т.е. для  $(R_2 - R_1) \gg 1$ . В указанном случае выражение (26) может быть записано в виде

$$Q = \frac{\Delta T R_1}{T_2 r} \left( \frac{4}{5} R_1 \nu \ln(R_2/R_1) + \alpha^* (1 + R_1/R_2) \right)^{-1}, \quad (27)$$

где  $\alpha^* = \lim_{R_2 \rightarrow \infty} \alpha$ .

Зависимость  $\alpha^*$  от  $R_1\nu$  с точностью до 0.3% аппроксимируется выражением

$$\alpha^* = \frac{\sqrt{\pi} + 2.4624(R_1\nu)^{0.9}}{1 + 2.3474(R_1\nu)^{0.9}}.$$

Очевидно, что график функции  $\alpha^*(R_1\nu)$  практически сливается с кривыми 1 ( $R_1/R_2 = 0.01$ ) на рис. 2, 3.

Определенный интерес представляет рассмотрение цилиндров достаточно большого радиуса, когда  $R_1\nu \gg 1$  и  $(R_2 - R_1)\nu \gg 1$ . В этом случае  $\alpha^*$  перестает зависеть от степени разреженности газа и стремится к значению

$$\alpha_\infty = 1.0489. \quad (28)$$

С другой стороны, система моментных уравнений в рассматриваемом пределе допускает аналитическое решение и поток тепла с точностью до линейных по числу Кнудсена ( $Kn_i = \lambda/R_i$ ) слагаемых можно представить в виде

$$q = n (2k^3 T^3 / m)^{1/2} Q = \frac{\kappa}{r} \Delta T \left( \ln(R_2/R_1) + C_t (Kn_1 + Kn_2) \right)^{-1}, \quad (29)$$

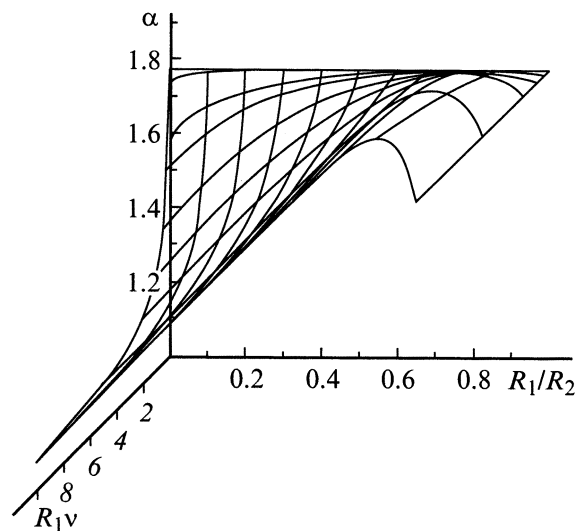
где  $C_t$  — коэффициент скачка температуры.

Сравнивая (27) и (29) с учетом (28) и определения  $\nu$  (2), находим

$$C_t = \frac{5\alpha_\infty}{4\nu\lambda} = 2.2193,$$

что менее чем на 1% отличается от полученного численным методом в работе [6] значения  $C_t = 2.2049$ .

Отметим также случай  $R_2/R_1 \rightarrow 1$ , когда в пространстве скорости отсутствует область, определяющая вклад функции  $\Phi_2$ . Как видно из приведенных графиков, значение параметра  $\alpha$  в рассматриваемом режиме меняется



**Рис. 3.** Общий профиль зависимости  $\alpha$  от соотношения между радиусами цилиндров и степени разреженности газа.

от  $2\alpha_\infty = 2.0978$  при  $(R_2 - R_1)\nu \gg 1$ , что соответствует выражению (29), до  $\sqrt{\pi}$  при  $(R_2 - R_1)\nu \ll 1$ . Последнее объясняется тем, что молекулы газа пролетают расстояние между цилиндрами, практически не успевая столкнуться между собой. Следовательно, функция  $\Phi_3$  остается равной нулю во всем объеме газа. Поэтому, как видно из условий (24), (22) и соотношения (20),

$$2a_1^1 = a_2^1 = -\frac{\Delta T}{T_2}, \quad Q = \frac{\Delta T R_1}{T_2} \frac{1}{r \sqrt{\pi}}.$$

Похожая ситуация имеет место и при  $R_1\nu \ll 1$ . В указанном случае влиянием внутреннего цилиндра можно пренебречь и считать функцию распределения совпадающей с распределением молекул, отраженных от поверхности внешнего цилиндра. При этом различие между функциями  $\Phi_3$  и  $\Phi_2$  исчезает (т.е.  $a_i^2 = a_i^3 = 0$ ), а параметр  $\alpha$  также равен  $\sqrt{\pi}$ .

Стандартный метод Лиза приводит к аналогичному соотношению

$$Q_s = \frac{\Delta T R_1}{T_2} \frac{1}{r} \left( \frac{4}{5} R_1\nu \ln(R_2/R_1) + \sqrt{\pi} \right)^{-1}, \quad (30)$$

где роль параметра  $\alpha$  играет величина  $\sqrt{\pi}$ , не зависящая от характеристик системы.

Совпадение выражений (26) и (30) имеет место лишь в бесстолкновительном режиме, когда радиус внутреннего цилиндра или расстояние между ними ничтожно малы по сравнению с длиной свободного пробега молекул газа. Причем, как было показано, значение потока тепла в перечисленных случаях определяется исключительно законами сохранения и задача может быть решена посредством элементарных рассуждений качественного характера. Формальное совпадение результатов наблюдается и в газодинамическом режиме. Однако в этом случае стандартный метод Лиза дает не зависящее от соотношения между радиусами цилиндров значение поправки к газодинамическому решению, которая в пределе  $R_2 \gg R_1$  соответствует существенно завышенной величине коэффициента скачка температуры  $C_t = 3.75$ .

В промежуточном диапазоне соотношений между радиусами цилиндров и длиной свободного пробега молекул газа значения параметра  $\alpha$  изменяются в достаточно широком интервале, практически в два раза. Значение  $\alpha$  оказывается близким к стандартному при отношении  $R_1/R_2$ , близком к 0.7. В случае  $R_2 > 1.5R_1$  стандартный метод Лиза дает заниженное значение потока тепла. Максимальное отличие  $Q$  от  $Q_s$  достигает 15% в диапазоне  $R_1\nu \sim 1$  при  $R_2 \sim 10R_1$ . В случае зазора между цилиндрами меньшего  $0.5R_1$  стандартный метод дает завышенный результат. При этом максимальное отличие  $Q$  от  $Q_s$  достигает 10% в области пика графика на рис. 1, т.е. при  $R_1\nu \gg 1$ ,  $R_2 \sim 1.1-1.2R_1$ .

## Список литературы

- [1] Lees L., Liu Chung-Yen // Phys. Fluids. 1962. Vol. 5. N 10. P. 1137–1148.
- [2] Semyonov Yu.G., Borisov S.F., Suetin P.E. // J. Heat Mass Transfer. 1984. Vol. 27. N 10. P. 1789–1799.
- [3] Коган М.Н. Динамика разреженного газа. М.: Наука, 1967. 440 с.
- [4] Bhatnagar P.L., Gross E.P., Krook M.A. // Phys. Rev. 1954. Vol. 94. N 3. P. 511–525.
- [5] Савков С.А., Юшканов А.А. // МЖГ. 1986. № 5. С. 149–152.
- [6] Sone Y., Aoki K. // Mem. Fac. Eng. Kyoto Univ. 1987. Vol. 49. N 3. P. 237–248.